

# 基于 EZ-USB 的 CCD 信号采集系统

刘小军, 刘栋斌

(中国科学院长春光学精密机械与物理研究所, 长春 130033)

**摘要:** 针对航天应用领域某有效载荷设备的 CCD 信号采集需要, 提出一种基于 USB 2.0 的 CCD 信号采集方案, 其中包括硬件接口设计和软件设计。采用 FPGA 加 EZ-USB 的系统架构完成硬件接口设计, USB 接口芯片工作于从模式, 信号传输采用批量传输模式, 利用 VC++6.0 平台设计出信号采集软件。经 ISE 和 Modelsim 仿真以及 EZ-USB 硬件平台检验, 系统实现了 CCD 信号采集, 且运行稳定。

**关键词:** USB 采集; CCD 信号采集; 固件; 驱动程序

## CCD Signal Acquisition System Based on EZ-USB

LIU Xiao-jun, LIU Dong-bin

(Changchun Institute of Optic, Fine Mechanic and Physics, Chinese Academy of Sciences, Changchun 130033)

**【Abstract】** For the need of Charge Coupled Device(CCD) signal acquisition of some payload in spaceflight, a CCD signal acquisition scheme based on USB 2.0 is presented, including the hardware interface design and software design. The hardware architecture is implemented with FPGA and EZ-USB, the USB interface IC is in slave mode and the signal transmission mode is batch transmission. The signal acquisition application is designed on the platform of VC++6.0. The system realizes CCD signal acquisition and runs steady, which is proved with the emulator ISE and Modelsim, and the hardware platform based on EZ-USB

**【Key words】** USB acquisition; Charge Coupled Device(CCD) signal acquisition; firmware; driver

电荷耦合器件(Charge Coupled Device, CCD)是摄像、摄影设备里一个极其重要的部件, 它起到将光信号转换成电信号的作用, 1 个 CCD 信号包括 3 个电平: 复位电平, 参考电平和信号电平。实际代表光信号强度的是参考电平和信号电平之差, 所以在将模拟信号转换成数字信号以前, 需要将这 2 个信号相减(相关双采样), 然后将差值进行 A/D 转换。一种普遍的方法是使用 CCD 集成信号处理器, 只需要外加必要的采样时钟和输入 CCD 信号, 便能完成上述功能。EXAR 公司的 98L63 便是这样一款芯片, 它除了能完成相关双采样和 12 位 ADC 输出外, 还能提供诸如暗电平自校准、可编程增益放大、孔径延迟等可编程特性, 是一款比较优秀的集成 CCD 信号处理器。

### 1 USB 2.0 简介

CCD 信号总是和图像或视频相关的, 图像和视频的数据量通常都比较大, 要进行 CCD 信号的传输, 就需要选择一种支持高速传输的接口, USB 正好满足这个要求, 除了支持高速传输, USB 还因为支持热插拔和易扩展而得到了广泛的应用。USB 设备给用户的感觉是“USB 非常方便, 非常易用”, 然而, USB 设备对于其开发者来说, 绝对算得上是一个挑战。总的来说, 1 个基于 USB 的系统主要分为 3 个部分: 主机, 设备和互连, 如图 1 所示。在任何 USB 系统中, 只有一个主机(任何通信都是由主机发起的)。USB 和主机系统的接口称为主控制器, 它可由硬件、固件和软件综合实现; 设备可以分为功能性设备和集线器 2 种, 前者作为系统的功能扩展设备, 后者作为 USB 设备的扩展连接点; 互连定义了主机和外设的连接和通信方式, 包括总线拓扑结构、内部分层关系、数据传输模型和总线访问控制等几个部分<sup>[1]</sup>。

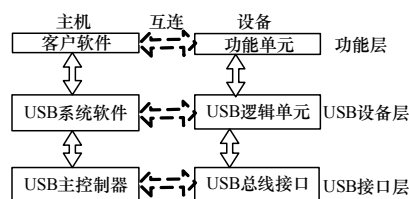


图 1 USB 系统层次结构

进行 USB 数据通信需要硬件 IC 的支持, 这类芯片主要分为 2 类: 一类是芯片本身没有集成微处理器, 必须外加微处理器才能完成数据通信; 另一类是内部集成有微处理器的 USB 接口芯片, 如 CYPRESS 公司的 EZ-USB 系列。EZ-USB FX2 系列接口芯片使用比较广泛, 满足 USB 2.0 协议, 内部集成有增强型 8051 微处理器、USB 智能引擎, 能够方便地开发出满足用户要求的 USB 设备。

### 2 系统方案

本系统的目的是将 CCD 集成信号处理器的输出(CCD 信号经过相关双采样和 A/D 转换)经由 USB 接口实时传给 PC, CCD 信号处理器的控制由 FPGA 完成, FPGA 还接收主机的命令, 然后翻译成控制 USB 接口芯片的信号。除此之外, 还利用 FPGA 自带的 RAM 生成一个 FIFO, 用作 USB 与主机通信的缓存。主机端应用程序以波形的形式显示采集到的数据和控制 USB 的通信过程。本文的重点是介绍 USB 接口方面的知识, 即 USB 与外设的接口设计和主机端固件、应用程

**作者简介:** 刘小军(1981—), 男, 硕士研究生, 主研方向: 数字信号处理; 刘栋斌, 副研究员、硕士

**收稿日期:** 2008-12-16 E-mail: liuxj5502@163.com

序以及驱动程序的编写。图 2 是系统方案的框图。

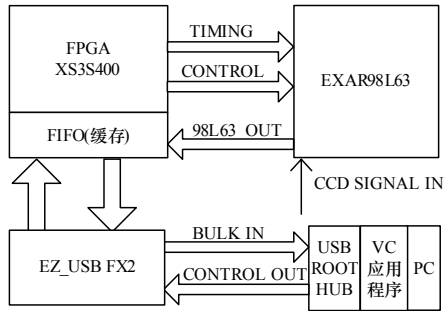


图 2 系统方案

### 3 硬件设计

USB 接口芯片通过 USB 电缆直接和主机连接，固件程序的下载、控制字节的输出和 USB 返回的状态信息和数据都由 USB 电缆传输。由于 EZ-USB FX2 内部只有 RAM，掉电或复位后程序丢失，为了避免每次上电手动下载程序，可以利用 USB 芯片本身已经固化好的程序下载逻辑。这个逻辑每次上电或复位后，会自动检测其 IIC 总线上是否有 EEPROM。如果有，它会进一步检测 EEPROM 的第 1 个字节，如果第 1 个字节是 C0，说明 EEPROM 中存有设备的 VID 和 PID，这时 USB 会根据 EEPROM 中的 PID 和 VID 加载相应的驱动程序，但固件程序仍需要手动下载(这个过程也叫 C0 加载)；如果 EEPROM 的第 1 个字节是 C2，说明这时挂在 IIC 总线的 EEPROM 存有 IIC 格式的固件程序，固件加载逻辑这时会自动从 EEPROM 下载程序到 USB 的内部 RAM 中然后运行(这个过程也叫 C2 加载)。

USB 和外设的连接有 2 种方式：SLAVE(从)方式和 GPIF(主)方式。当采用 SLAVE 方式的时候，读写 USB 的时钟由外部控制器(这里是 FPGA)提供，它们分别是 SLRD 和 SLWR。相应的，USB 反馈端点 FIFO 的状态(如空或满)给外部控制器，以便外部控制器决定读写时间；当采用 GPIF 模式的时候，读写时钟由 USB 给出，读写时序的编写可以借助 Gpif Designer 工具完成。PA[7...0]是一组复用 I/O 口，当 USB 工作在不同模式的时候代表不同的含义，如 PA4/FIFOADR0 和 PA5/FIFOADR1。当 USB 工作在 FIFO SLAVE 模式的时候，其值代表 USB 的端点 FIFO(哪个端点 FIFO)，不用的时候可以用作通用 I/O 口。最后，USB 和外部逻辑的数据传输是通过 16 位数据总线完成的，它们是 PD[15...0]/FD[15...0]，不需要数据传输的时候也可以用作通用 I/O 口。另外，128 脚封装的 USB 还可以外接程序存储器，方便硬件的调试和程序存储空间的扩展。硬件的连接方式如图 3 所示。

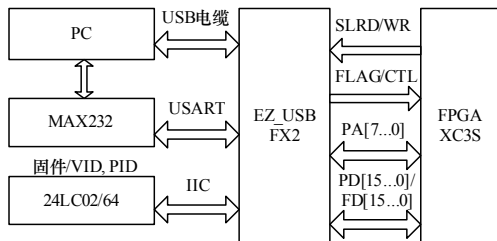


图 3 系统硬件互连示意图

### 4 软件设计

#### 4.1 固件设计

固件框架完成了一个简单的任务循环，框架首先初始化

内部的状态变量，然后调用用户初始化函数 TD\_Init()。从该函数返回后，框架初始化 USB 接口到未配置状态并使能中断。然后每隔 1 s 进行一次设备重枚举，直到端点接到一个 SETUP 包。一旦接到 SETUP 包，框架将开始交互的任务调度，具体过程如图 4 所示。

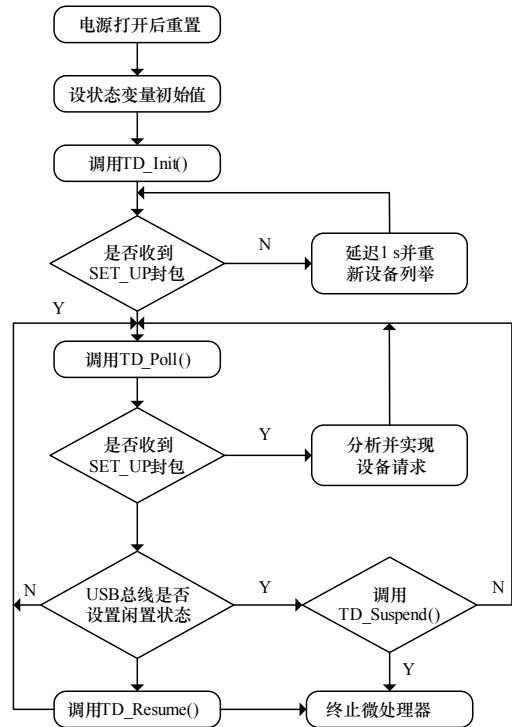


图 4 固件程序框架结构

固件是一种软件，是一种担任系统最基础、最底层工作的软件。实际上，固件决定了一个设备所具有的功能，改变固件，就是改变设备的特性，就可以改变设备的功能<sup>[2]</sup>。一个固件的完善和稳定决定了相应设备的性能，所谓的固件升级，刷固件就是这个意思。

CYPRESS 公司为其 USB 芯片提供了一个基于 KEIL C51 环境开发的固件框架，当用户开发自己的 USB 设备的时候，只需实例化其中的 PERIPH.C 模块即可。这个框架主要由以下几部分组成：

- (1)FW.C，框架源代码，它包含了程序框架的 MAIN 函数，管理整个 51 内核的运行。
- (2)PERIPH.C，外围设备控制文件，它负责系统周边器件的互联。固件的设计主要针对这个文件，用户必须根据自己系统的需要，实例化这个文件，以实现所需的功能。在这个文件中有几个函数是比较关键的：

1)TD\_Init(void)，该函数在框架初始化期间被调用。在设备重枚举和任务调度启用之前调用该函数，用来初始化用户的全局状态变量，并可规定各种端点资源的使用(包含中断)以及配置外围接口的输入/输出等。

2)TD\_Poll(void)，在设备工作期间被重复调用，它包含一个执行外设功能的状态机。其负责系统中循环任务的处理，主要是对各个端点的状态进行查询，处理各种 OUT 或 IN 端点的交互。值得说明的一点是，这种处理只是辅助性质的，大部分工作由硬件自动完成。

3)DR\_VendorCmd(void)，主要负责用户自定义命令的译码工作，用户请求通过端点 I/O 传输给内核。由于 EZ-USB

FX2 上 SIE 硬件的支持, 用户只需查询固定地址单元即可获得当前的命令代码。

(3)DSCR.A51 是描述表文件, 它负责 USB 设备的描述工作, 包括设备描述符、配置描述符、端点描述符和字符串描述符, 主要用于描述设备的各种信息。

(4)2 个包含文件 EZUSB.LIB 和 USBJMPTB.OBJ, 前者是 EZUSB 函数库的二进制文件, 后者是 USB 的中断向量表。

#### 4.2 应用程序设计

利用 VC++6.0 编写 PC 端的应用程序, 实现把 USB 数据以波形的方式显示出来。由于波形可能超过客户区的大小, 需要能对波形进行调整, 比如周期的增大与减小、波形的左右或上下移动等功能。另外, 还需要通过应用程序实现对数据采集方式的控制。

鉴于 CYPRESS 已经提供了应用程序的框架, 要实现自己所需的特殊功能, 只需要在此基础上进行扩展完善即可。本应用程序主要增加了以下几个类<sup>[3]</sup>:

(1)CSplitterFrame 主要用于将原来的窗口客户区进行分割, 一部分用于显示数据, 另一部分用于显示波形。源程序如下:

```

BOOL CSplitterFrame::OnCreateClient (LPCREATESTRUCT lpcs,
CCreateContext *pContext)
{
    m_wndSplitter.CreateStatic(this,1,2);
    //创建 2 个一行两列的静态 view
    m_wndSplitter.CreateView(0,0,pContext->m_pNewViewClass,CSi
ze(300,0),pContext);
    m_wndSplitter1.CreateStatic (&m_wndSplitter,2,1, WS_CHILD|
WS_VISIBLE|WS_HSCROLL |WS_VSCROLL, m_wndSplitter.
IdFromRowCol,1));
    //将第 2 个 view 分成两行一列 2 个 view
    m_wndSplitter1.CreateView (0,0,RUNTIME_CLASS (CControl),
CSize(0,80),pContext);
    //创建第 2 个 view, 默认高度 80 像素
    m_wndSplitter1.CreateView (1,0,RUNTIME_ CLASS (CWave
Show), CSize(0,0), pContext);
    //创建第 3 个 view
    SetActiveView((CView*)m_wndSplitter.GetPane(0,0));
    //设置当前 view
    return TRUE;}

```

(2)CwaveShow 用于显示波形和对其进行动态调整。

波形的显示在 OnDraw()函数中实现, 首先获得 USB 输入的缓冲区指针, 缓冲区中存储的数据代表 CCD 信号的幅值。要显示波形, 只需每隔一定的像素单元在客户区画一个点(点的纵坐标由 CCD 信号的幅值决定), 然后将这些点连起来即可。

```

for(i=curpos,j=0;i<curpos+600/m_WaveStep;j+=m_WaveStep)
{ // curpos 代表水平滚动条的当前位
//m_WaveStep 表示像素的宽度
// m_vcurpos 代表垂直滚动条的当前位置
if(m_WaveStep!= m_inclflag)
{ //水平滚动条的位置反映当前待显数据的起始位置
pDC->MoveTo(j,-(unsigned char) pBlkBuf[i]+ m_vcurpos);
pDC->LineTo(j+m_WaveStep, -(unsigned char) pBlkBuf[i]+ m_
vcurpos);
pDC->MoveTo(j+m_WaveStep, -(unsigned char) pBlkBuf[i]+ m_
vcurpos);
pDC->LineTo(j+m_WaveStep, -(unsigned char) pBlkBuf[i+1]+ m_

```

```

vcurpos);}}

```

波形的调整利用成员变量 m\_WaveStep 和 OnHScroll()以及 OnVScroll()函数实现。首先在 CwaveShow 类中增加函数 OnHScroll()和 OnVScroll(), 用于响应滚动条的左右或上下移动以及拖动等动作, 并将反映滚动条位置的变量和 OnDraw()函数联系起来即可。

```

void CWaveShow::OnVScroll(UINT nSBCode,UINT nPos,
CScrollBar* pScrollBar)
{SetScrollRange(SB_VERT,0,tpcr.Height(),TRUE);
//设置滚动条的范围
pScrollBar->GetScrollRange(&m_vminpos,&m_vmaxpos);
m_vmaxpos = pScrollBar->GetScrollLimit();
//将滚动条的最大值赋给 m_vmaxpos
m_vcurpos = pScrollBar->GetScrollPos();
//获取滚动条的当前位置
switch (nSBCode)
{ case SB_LINEUP: //向左滚动
if (m_vcurpos > m_vminpos)
m_vcurpos--; break; //未到最左边, 改变当前值
case SB_LINEDOWN: // 向右滚动
if (m_vcurpos < m_vmaxpos)
m_vcurpos++;break;
case SB_THUMBTRACK: // 拖动滚动条到指定位置
m_vcurpos = nPos; // nPos 滚动条被拖到的位置
break;
pScrollBar->SetScrollPos(m_vcurpos);
... } }

```

#### 4.3 EZ Loader 驱动程序设计

对于一个基于 EZ-USB 芯片的设备, 如果具有上电固件自动下载的功能, 那么它只需要少量的存储器(例如 EPROM, EEPROM 等)用来存储设备的 VID/PID 即可。VID/PID 与主机系统中制定的设备驱动程序相关联, EZ Loader 就是这样的一个设备驱动程序, 其功能是下载固件到外设的 EZ-USB 芯片中, 开发自己的 EZ Loader 非常容易, 只需要几个固定的步骤, 在此不作详细讨论<sup>[4]</sup>。

#### 5 结束语

经过 ISE 和 Modelsim 仿真以及基于 EZ-USB 硬件平台的检验, 本系统完成了通过 USB 总线采集 CCD 信号(由 FPGA 模拟产生)的功能。图 5 显示的是用 FPGA 产生的 CCD 模拟信号, 最后一行信号是将 FPGA 输出的 8 位 CCD 模拟信号直接叠加的效果。图 6 为 USB 采集到的 CCD 模拟信号及其波形。USB 读数的方式为批量传输方式, 系统上电时固件能自动加载, 也可以将 IIC 格式的固件下载到 EEPROM 中。

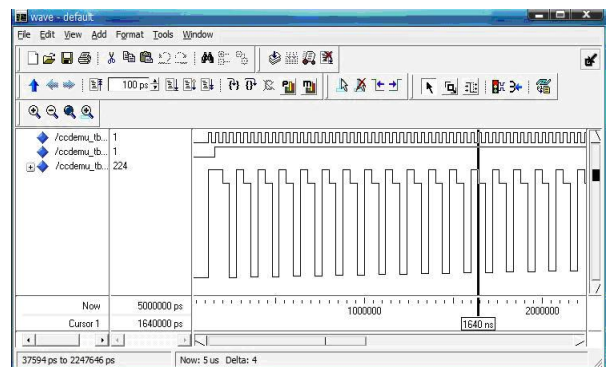


图 5 FPGA 产生的 CCD 模拟信号

(下转第 229 页)

### 3.2 实验结果及分析

表 2 是正交分解模型下不采取任何特征提取算法分类的查准率和用时数据。表 3 和表 4 分别表示采用信息增益值作为特征提取方法时，正交分解模型与向量空间模型下 KNN 算法与 SVM 算法查准率和消耗时间的比较。

表 2 不采用特征提取算法的分类结果

宏平均查准率	微平均查准率	特征数	训练用时/ms	分类用时/ms
0.957 88	0.961 38	38 858	4 906	2 047

表 3 查准率比较

特征数	正交分解模型		KNN		SVM	
	宏平均查准率	微平均查准率	宏平均查准率	微平均查准率	宏平均查准率	微平均查准率
2 000	0.912 53	0.922 61	0.906 20	0.865 10	0.965 16	0.959 31
4 000	0.946 00	0.950 64	0.882 99	0.821 20	0.963 07	0.953 96
6 000	0.952 48	0.956 63	0.878 88	0.799 79	0.962 53	0.969 57
10 000	0.955 72	0.958 66	0.880 79	0.762 31	0.955 03	0.963 77
20 000	0.955 72	0.958 55	0.874 02	0.721 63	0.953 96	0.963 32
30 000	0.957 88	0.961 38	0.856 94	0.721 63	0.956 10	0.966 11

表 4 消耗时间比较

特征数	正交分解模型		KNN		SVM	
	训练用时	分类用时	训练用时	分类用时	训练用时	分类用时
2 000	5	0.3	12	9	40	26
4 000	5	0.5	13	10	63	38
6 000	5	0.6	15	12	71	45
10 000	5	0.8	23	13	84	54
20 000	5	1.3	37	18	103	64
30 000	5	1.7	38	22	119	68

基于以上数据，做出以下分析：

(1) 本文提出的分类模型效果明显好于向量空间模型下 KNN 算法的效果。在低维特征下表现不如 SVM 算法，但在高维特征下表现与 SVM 算法相当。

(2) 正交分解模型下分类算法复杂度明显小于向量空间模型下的 KNN 算法与 SVM 算法。这是因为通过正交分解，文档向量维度从  $n$  维降低到了  $m$  维，以非常小的代价获得了文档在各个类别上的分量。可以通过分析式(2)，得到正交分解模型下分类算法复杂度为  $O(mnl)$ ，其中， $m$  为类别数； $n$  为特征数； $l$  为待分类文档数。

(3) 利用信息增益值对正交分解模型进行特征提取效果并不明显。当特征为 30 000 维时，分类效果达到最佳，同时这个效果与不进行特征提取的效果相同。这说明利用信息增益值作为正交分解模型的特征提取值并不会显著影响分类效果，但可以减少分类算法的时间复杂度，同时说明正交分解模型对于干扰词有很大的耐受程度。

(4) 正交分解模型只是部分地解决了文本向量空间扭曲的问题，因为作为坐标轴的类别本身也不是正交的，但与向量空间模型相比，扭曲程度已经大为降低。

### 4 其他分类模型

文献[7]提出基于潜在语义的文本分类模型(MPLS)，思路是从原始文本空间中得出一个潜在语义空间再进行偏最小二乘分析。与 SVM 相比，该模型优点在于可以进行多类分类。在本文提出的模型中，文本被表示成一个以类别为坐标的向量，每一维代表该文本与对应类的相关度，因此，也可很好地处理多类和兼类的问题。MPLS 的时间复杂度为  $O(mnsl)$ ，其中， $m$  为文档数； $n$  为特征数； $s$  为决定潜在语义变量对数目的循环次数； $l$  计算潜在语义变量对的循环次数。显然，相对 MPLS，本文提出的模型具有时间复杂度上的优势。

### 5 结束语

本文提出了基于正交分解的文本分类模型，通过实验证实了模型的有效性，并且对正交分解模型的优缺点进行了分析。实验结果表明，正交分解模型分类效果与向量空间模型下 SVM 算法分类效果相当，明显好于 KNN 算法，复杂度较 KNN 算法与 SVM 算法都要小很多。但实验中发现，基于信息增益值的特征提取算法对于正交分解模型效果不明显，有必要找到一种适合正交分解模型的特征提取算法。同时正交分解模型并未完全解决空间扭曲的问题，需要在以后的工作中进一步的研究。

### 参考文献

- [1] 焦玉英, 宋晓晴. 基于 VSM 的文档信息检索改进[J]. 情报理论与实践, 2007, 30(1): 97-104.
- [2] 王煜. 基于决策数和 K 最近邻算法的文本分类研究[D]. 天津: 天津大学, 2006.
- [3] 廖玲, 文敦伟. 基于改进向量空间模型的邮件分类[J]. 计算机数字与工程, 2007, 35(4): 190-193.
- [4] 彭时名. 中文文本分类中特征提取算法研究[D]. 重庆: 重庆大学, 2005.
- [5] 李荣陆, 王建会, 陈晓云, 等. 使用最大熵模型进行中文文本分类[J]. 计算机研究与发展, 2005, 42(1): 94-101.
- [6] 程泽凯, 林士敏. 文本分类器准确性评估方法[J]. 情报学报, 2004, 23(5): 631-636.
- [7] 叶浩, 王明文, 曾雪强. 基于潜在语义的多类文本分类模型研究[J]. 清华大学学报: 自然科学版, 2005, 45(S1): 1818-1822.

编辑 索书志

(上接第 205 页)

